

ПРЕДВАРИТЕЛЬНЫЕ ИССЛЕДОВАНИЯ ПРОЦЕССА УЛЬТРАЗВУКОВОЙ ДЕГАЗАЦИИ АВИАЦИОННОГО КЕРОСИНА ДЛЯ ПОВЫШЕНИЯ РЕСУРСА ОБОГРЕВАЕМЫХ ТОПЛИВНЫХ КАНАЛОВ



Шлякотин Владимир Ефимович, начальник сектора
Горбачев Владимир Николаевич, ведущий инженер,
Соколова Ольга Викторовна, ведущий инженер,
Шихман Юрий Моисеевич, старший научный сотрудник,
Бельков Александр Сергеевич, начальник стенда
 ФГУП «ЦИАМ им. П.И. Баранова»

Проведены предварительные экспериментальные исследования модельного проточного ультразвукового дегазатора авиационного керосина с применением ультразвукового генератора пузырьков и сепараторов различного типа. Предварительные результаты опытов показали принципиальную возможность применения принципа ультразвуковой генерации пузырьков растворенного воздуха (кислорода воздуха) с дальнейшим сепарированием их из топливной магистрали с целью снижения темпа коксоотложений при нагреве керосина выше температуры его термической стабильности

A preliminary experimental study model ultrasonic flow degasifier aviation kerosene using ultrasonic generator of bubbles and separators of various types. The preliminary results of the experiments showed the fundamental possibility of applying the principle of ultrasonic generating bubbles of dissolved air (air oxygen) with further separation of them from the fuel rail to reduce the rate of coke formation when heated kerosene above the temperature of its thermal stability

Ключевые слова: ВРД, хладоресурс, коксоотложения, авиационный керосин, дегазация, ультразвук, экспериментальные исследования.

Keywords: jet engine, glatorians, cocoamone, aviation kerosene, degasing, sonication, experimental studies

Проблема создания эффективного высокоскоростного ВРД с высоким уровнем параметров цикла и теплонапряженности заключается в эффективном охлаждении рабочего тела (воздуха) и элементов конструкции. С повышением скорости полета хладоресурса воздуха становится недостаточно, в этом случае необходимо использовать хладоресурс топлива - единственного хладагента на борту. С другой стороны, с ростом общей теплонапряженности конструкции силовой установки (СУ) актуальны требования к повышению ресурса топливоподающих систем и систем впрыска, располагающихся в области повышенных температур (например, трубопроводы и форсунки, находящиеся в непосредственной близости от КС).

Наиболее реалистичным для высокоскоростных ЛА малого и среднего взлетного веса являются СУ работающие на углеводородном топливе (авиационном керосине) с использованием существующей топливной базы и аэродромной инфраструктуры.

Особенностью применения в качестве хладагентов авиационных керосинов в системах охлаждения (СО), теплообменных аппаратах (ТА) и обогреваемых трубопроводах является коксообразование с коксоотложением на поверхностях нагрева в области температур топлив, превышающих пределы их термической стабильности [1, 2] ($T_{т.макс} = 130...180^{\circ}C$) [2]. Так, для керосинов от $T_{т.макс}$ и до температуры полной газификации проявляется интенсивный процесс коксоотложений, связанный, в частности, с жидкофазным окислением топлива, вследствие неизбежного присутствия растворенного кислорода воздуха в топливе [1], составляющего 3 - 5 об. % при нормальных условиях. Эти отложения, образуясь на внутренней поверхности каналов со временем, вследствие более низкого уровня коэффициента теплопроводности по сравнению с исходным материалом теплопередающей стенки, приводят к значительному росту температуры стенки и ее перегреву, что является основным ограничителем ресурса обогреваемых топливных систем и двигателя в целом. Тем не менее, использование хладоресурса топлива для высокоскоростных и высокотемпературных двигателей пока неизбежно. Поэтому разработка эффективных конструкций СО и ТА и способов снижения коксоотложений является актуальной задачей.

В работе [3] были проведены систематические экспериментальные исследования процессов коксоотложений и наработки

модельных топливных каналов с нагревом в них керосина при различных тепловых нагрузках $q_w = 0.2 - 0.7$ МВт/м² как аналогов каналов топливной СО перспективных высокоскоростных ВРД. Опыт

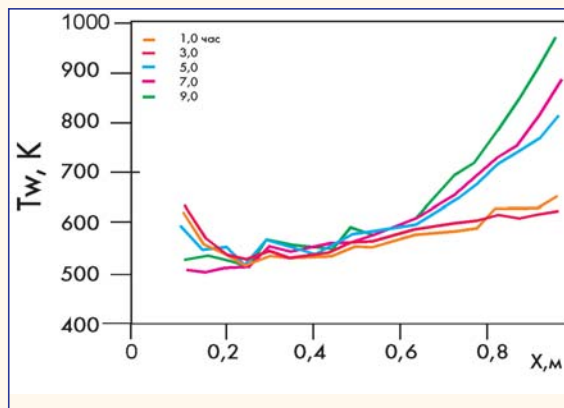


Рис. 1. Характерное распределение температуры наружной поверхности трубки в зависимости от времени наработки

онных керосинов РТ и ТС-1 в трубчатых моделях (нетеплоизолированная трубка 3.0X0.5 мм, материал 12X18Н9Т длиной 1 м), препарированных термопарами с наружной стороны. Испытания проводились при температуре топлива на входе $\approx 10...240^{\circ}C$, давлении $\approx 5.0-6.0$ МПа и температурами на выходе $\approx 240...370^{\circ}C$, и прекращались по достижению максимальной температуры наружной поверхности $\approx 700^{\circ}C$.

На рис. 1 показано характерное распределение температуры наружной поверхности стенки по длине топливного трубчатого канала при различных временах наработки. Видно, что по мере наработки происходит общее повышение температуры наружной поверхности трубки, особенно в области выхода из ТО. Такое поведение температуры стенки связано с коксоотложением на внутренней поверхности трубки (рисунк 2).

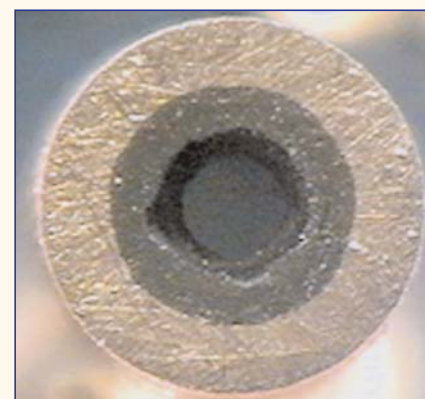


Рис. 2. Пример распределения отложений кокса в сечении максимальной температуры стенки трубки

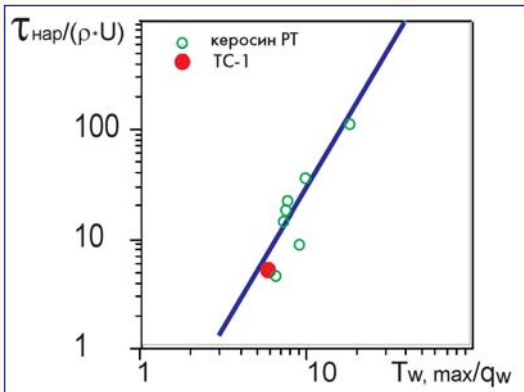


Рис. 3. Зависимость максимального времени наработки топливного канала в условиях коксоотложений

в условиях исходной ("чистой") трубки. Подобная зависимость позволяет провести экспресс-оценку наработки трубчатых каналов СО.

Ключевым источником коксообразования в жидком топливе при его нагреве является растворенный в топливе кислород воздуха. В этом случае устройство, позволяющее значительно снизить склонность нагреваемого топлива к коксоотложению, должно исключить первопричину этого процесса. В [1] представлены экспериментальные данные по изменению скорости перегрева стенки (прямая характеристика наличия коксоотложений) в зависимости от содержания растворенного кислорода в н-октане, протекающего в нагреваемом канале (практически линейная зависимость) из которых следует, что при снижении количества растворенного кислорода $%O_2 \rightarrow 0$, в пределе $T_w \rightarrow 0$. Отметим, что механизм процесса коксообразования и коксоотложения достаточно сложен и зависит так же от наличия примесей (меркаптаны, смолы и пр.) растворенных в авиационном керосине, пусть и в небольших количествах. Избавление от них также благотворно сказывается на снижении уровня коксоотложений [1].

Следовательно, одним из способов повышения ресурса топливных систем охлаждения может стать разработка устройств кондиционирования (дегазации) авиационного керосина для удаления из него растворенного кислорода воздуха. При этом устройство, предположительно, должно размещаться на двигателе (как дополнительный узел топливной системы) и обеспечивать проточную и безнагревную дегазацию. Размещение дегазатора на двигателе определяет требования к его массогабаритным параметрам, а требования безнагревности - возможность максимального сохранения располагаемого физического хладоресурса керосина. Очистка керосина от растворенного кислорода позволяет значительно снизить уровень коксоотложений в обогреваемых топливных каналах и увеличить температурный интервал нагрева вплоть до температур начала его термического разложения ($\approx 800-850\text{ K}$) [1]. Этим требованиям во многом удовлетворяет принцип ультразвуковой дегазации жидкости, с успехом применяемый в нефтехимической промышленности [4-6].

Настоящая работа посвящена начальному этапу экспериментальных исследований и отработке перспективных устройств по снижению интенсивности коксоотложений методом ультразвуковой дегазации для дальнейшей реализации хладоресурса углеводородных топлив с целью повышения ресурса работы обогреваемых топливных систем.

Основу метода ультразвуковой дегазации жидкости составляют два основных устройства: генератор пузырьков растворенного газа и сепаратор этих пузырьков выделений. На данном этапе работы исследовались возможности использования в качестве основы системы дегазации ультразвукового генератора. Этот генератор посредством подвода энергии к объему жидкости в виде ультразвуковых колебаний мембраны образует пузырьки растворенного газа, всплывающие на поверхность жидкости. В

работе использовался ультразвуковой лабораторный проточный генератор ультразвуковой частоты (ГУЗЧ) УЗАП-0,2/22-ОП, разработанный для водной среды, с паспортной частотой ультразвуковых колебаний $22 \pm 1.65\text{ кГц}$ и мощностью 200 Вт при максимальном расходе воды 1.0 л/мин ($\approx 13.0\text{ г/с}$ для керосина РТ).

На предварительном этапе исследований задача состояла в оценке принципиальной возможности генерации пузырьков растворенного воздуха (кислорода воздуха) с визуализацией процесса их образования и изменений параметров потока керосина (расход, давление, температура) при подводе акустической энергии. С этой целью создана экспериментальная установка (см. рисунок 4) для испытаний с протоком и без протока керосина через ГУЗЧ.

Объект испытаний - ГУЗЧ, система подачи керосина - вытеснительная с наддувом топливного бака промышленным воздухом. В испытаниях предусмотрена регулировка расхода и давления керосина, который задается посредством кранов точной настройки, а также мощности генератора ультразвукового воздействия, задаваемого блоком управления ГУЗЧ.

В испытаниях с протоком керосин из расходного бака под давлением, регулируемым краном поз.2, поступает в расходную магистраль. Пройдя топливный фильтр тонкой очистки поз.4, регулировочный кран поз.5, расходомер поз.6 и узел измерения температуры и давления поз.7 он поступает в проточный ГУЗЧ поз.8, где подвергается УЗ воздействию. К верхней части ГУЗЧ присоединен запирающий кран поз.5 и стеклянная трубка поз.9, предназначенные для визуализации состояния керосина при незначительном избыточном давлении. Затем керосин проходит выходной узел измерения температуры и давления поз.7, регулировочный кран поз.5 и далее поступает в сливной бак.



Рисунок 4. Схема топливной магистрали установки. 1 - вход воздуха, 2 - воздушный регулировочный кран, 3 - топливный бак, 4 - фильтр, 5 - топливный регулировочный кран, 6 - датчик расхода, 7 - узел измерения температуры и давления, 8 - УЗ генератор, 9 - стеклянная трубка, 10 - сливной бак.

В испытаниях с протоком керосин из расходного бака под давлением, регулируемым краном поз.2, поступает в расходную магистраль. Пройдя топливный фильтр тонкой очистки поз.4, регулировочный кран поз.5, расходомер поз.6 и узел измерения температуры и давления поз.7 он поступает в проточный ГУЗЧ поз.8, где подвергается УЗ воздействию. К верхней части ГУЗЧ присоединен запирающий кран поз.5 и стеклянная трубка поз.9, предназначенные для визуализации состояния керосина при незначительном избыточном давлении. Затем керосин проходит выходной узел измерения температуры и давления поз.7, регулировочный кран поз.5 и далее поступает в сливной бак.

В испытаниях измерялись расход керосина в диапазоне 3.0...10.0 мл/с (датчик ТПР-1-1-3), давление и температура керосина на входе и выходе из системы дегазации не более 2 ати и 50°C (датчик ADZ и термопары ТХК), концентрация растворенного кислорода. Погрешность измерений по давлению не более 0.3%, по темпера-



Рис. 5. Фотографии пузырьков растворенного газа (воздуха), образующихся в замкнутом объеме керосина при включенном ГУЗЧ, а - трек мелких пузырьков (обведены кружками), б - крупные газовые конгломераты

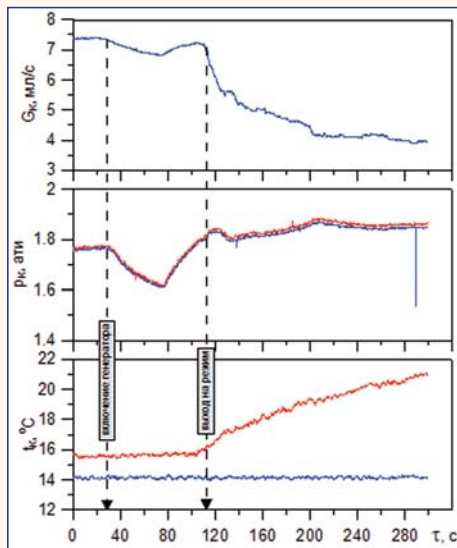


Рис. 6. - Пример изменения параметров топлива по времени при работе ультразвукового дегазатора (опыт №3). Синяя кривая - вход,

туре - 0.5%, по расходу - 1%.

Отметим, что равновесное содержание растворенного кислорода в авиационном керосине РТ, определенное при нормальных условиях, типичных для условий опытов, было определено на уровне 74.0 ± 3.7 мг/дм³. Это значение хорошо совпадает с данными [2]. Исследование выполнено в лаборатории "ЭкоЗонд" при МГУ им. М.В. Ломоносова методом адсорбционной пиролитической хроматографии.

На представленных фотографиях (рисунок 5) показан пример процесса

генерации пузырьков растворенного газа при его включении в непроточном режиме работы при атмосферном давлении. Видно, что при включении ГУЗЧ начинается активный процесс образования мелких пузырьков (рисунок 5а), поднимающихся к выходу из стеклянной трубки, а с течением времени, накапливающиеся все в большем количестве мелкие пузырьки формируют крупные образования - газовые конгломераты (рисунок 5б). Через некоторое время (очевидно зависящее от объема жидкости) газообразование практически прекращается.

Еще одним показателем, правда косвенным, активной генерации пузырьков растворенного газа являются данные измерений гидравлических параметров керосина в опытах с протоком керосина через ГУЗЧ (рисунок 6). Так, при включении ГУЗЧ и выходе его на рабочий режим работы в опытах наблюдалось значительное (до двукратного) снижение расхода керосина в проточной магистрали. Например, перед включением ГУЗЧ посредством регулировочных кранов был установлен расход керосина $G_k \approx 7.4$ мл/с при избыточном давлении $p_k \approx 1.78$ ати с температурой на выходе из бака $t_k \approx 14.2^\circ\text{C}$ (см. рис. 6).

При включении ГУЗЧ в течение 30-50 с с моностройки генератора наблюдаются заметные нестационарные флуктуации измеряемых параметров. Далее, по установлению рабочего режима генератора происходит значительное снижение расхода керосина до $G_k \approx 3.9$ мл/с, с незначительным ростом общего давления и соответствующим повышением температуры до $t_k = 20.8$ С на рассматриваемом интервале времени. Это снижение расхода обусловлено появлением двухфазной среды с газовыми пузырьками, препятствующей прохождению жидкого керосина ("запиранием") в наиболее узкой части топливной магистрали - выходного игольчатого крана. Отличие показаний температур керосина ($\Delta t_k \approx 1.5^\circ\text{C}$) на входе и выходе из магистрали близко к штатной погрешности ХК термомпар.

Еще одним эффектом, обнаруженным в процессе исследований, является изменение химического состава керосина, подвергнутого УЗ воздействию в непроточных опытах. На рисунке 7 показаны фотографии непроточного контрольного объема керосина (≈ 270 мл) до и после УЗ воздействия. Видно, что при УЗ воздействии после 15-20 секунд началось и после $\approx 3-4$ мин практически завершилось полностью заметное помутнение керосина, по-видимому, вследствие образования коллоидного раствора взвеси углеводородных соединений. Это свидетельствует об изменении состояния обрабатываемой среды при УЗ воздействии. Возможно, что возникающие физико-химические явления при распространении акустических волн вызваны процессами кавитационной деформации пузырьков.

В работе [8] со ссылками на многочисленные работы проведен подробный анализ физико-химических аспектов УЗ воздействия на жидкие углеводородные среды. В ней отмечается, что

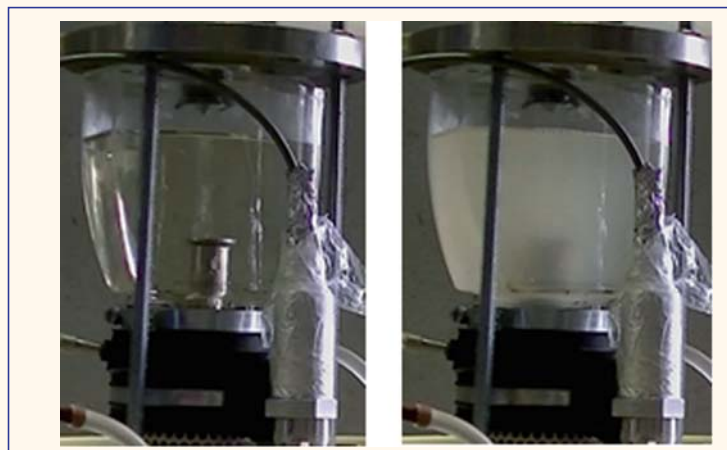


Рис. 7. Изменение структуры керосина после УЗ воздействия.

развитие химических реакций в ультразвуковом поле тесно связано с возникновением явления кавитации, которое представляет собой процесс образования под действием ультразвуковых волн в жидкой среде пузырьков и их исчезновения, сопровождаемое гидравлическими интенсивными ударами. Важной особенностью кавитации является локальное концентрирование энергии ультразвукового поля в малых объемах, за счет чего создаются высокие плотности энергии. При прохождении ультразвуковых колебаний через жидкости давление изменяет знак с удвоенной частотой создаваемого поля, поэтому размеры таких пузырьков очень малы ($\approx 10^{-5} - 10^{-1}$ см) [8]. Воздействие акустической энергии поля на углеводородные среды приводит к снижению их вязкости и молекулярной массы в результате фрагментации цепей на активные частицы. Отмечается, что в результате применения кавитационного метода существенно подавляются процессы коксообразования, интенсифицируются процессы деструкции и значительно снижается температура крекинга.

В частности, в момент схлопывания кавитационного пузырька в микрообъеме развиваются высокие температуры, достигающие 10000°C и больше и высокое давление до десятков тысяч атмосфер [9, 10], что и приводит к различным химическим реакциям, основными из которых являются окисление, восстановление, распад и синтез органических и неорганических веществ, полимеризация и деполимеризация, внутримолекулярные перегруппировки и др. Так, в [10] приведены различные подходы к моделированию динамики одиночного пузыря в жидкости. В частности давление газовой смеси в пузырьке P складывается из давлений растворенного газа и паров жидкости P_s , которое принимают постоянным и равным давлению насыщенных паров жидкости при данной температуре (с давлением среды P_0 с коэффициентом поверхностного натяжения σ). Давление газа зависит от вида термодинамического процесса, принятого в конкретной модели движения пузырька исходного радиуса R_0 . Процесс сжатия обычно считается адиабатическим с показателем адиабаты k и это находит хорошее совпадение с результатами экспериментов.

В этом случае, следуя [10], изменение давления и температуры в пузырьке можно представить соотношениями:

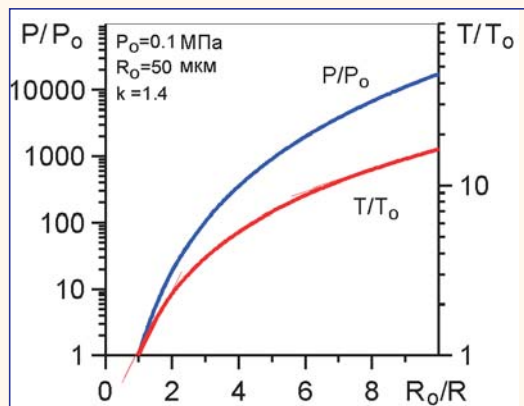


Рис. 8. Изменение относительного давления и температуры в одиночном пузырьке в зависимости от его относительного радиуса

$$P = P_s + (P_0 + 2\sigma/R) \cdot (R_0/R)^{3k} \text{ и } T/T_0 = (P/P_0)^{(k-1)/k}$$

На основании этих зависимостей на рисунке 8 показано изменение давления и температуры в пузырьке растворенного в керосине РТ газа при характерном уменьшении его радиуса в процессе деформации - значительное повышение уровня давления и температуры в при уменьшении радиуса пузырька.

Таким образом, в результате проведенных испытаний показана принципиальная возможность применения процесса ультразвуковой генерации пузырьков растворенного воздуха (кислорода воздуха) для дальнейшего их сепарирования. Применение эффективных сепарирующих устройств позволит отделить образовавшиеся пузырьки газа от жидкости и удалить их из топливной магистрали. Выявленные эффекты длительного ультразвукового воздействия на состав керосина в замкнутом объеме требуют специального рассмотрения с анализом последствий работы ГУЗЧ в проточной системе дегазации. **□**

Литература

1. Яновский Л.С., Иванов В.Ф., Галимов Ф.М., Сапгир Г.Б. Коксоотложения в авиационных и ракетных двигателях. Казань, 1999г, 285с
2. Дубовкин Н.Ф., Маланичева В.Г., Массур Ю.П., Федоров Е.П. Физико-химические и эксплуатационные свойства реактивных топлив. Справочник, М., Химия, 1985, 240с
3. Шлякотин В.Е., Шихман Ю.М., Митрофанов К.Е. и др. Экспе-

риментальные исследования коксоотложения в модели трубчатого теплообменника при нагреве керосина в условиях жидкофазного окисления. Труды ЦИАМ №1343, М; Торус пресс, 2010

4. Жежера Н. И. Размеры и движение пузырьков газа при дегазации нефти в акустическом деаэраторе. Альманах современной науки и образования Тамбов, изд. "Грамота", 2012. № 8 (63). С. 50-53. ISSN 1993-5552

5. Жежера Н. И. Сепарационная установка газ-нефть как объект автоматического управления по давлению газа // Актуальные проблемы гуманитарных и естественных наук. 2012. № 5. С. 58-64.

6. Жежера Н. И., Самойлов Н. Г. Теоретические положения к устройству измерения динамической составляющей расхода газа // Актуальные проблемы гуманитарных и естественных наук. 2012. № 4 (39). С. 47-50.

7. Коган В.Б., Фридман В.М., Кафаров В.В. Справочник по растворимости, Том I. Бинарные системы, книга первая. Издательство академии наук СССР, Москва-Ленинград, 1961, 961с.

8. Ануфриев Р. В. Влияние ультразвуковой обработки на структурно-механические свойства и состав нефтяных дисперсных систем. Диссертация на соискание ученой степени кандидата химических наук. Томск - 2017.

9. Барамбойм Н.К. Механохимия высокомолекулярных соединений. М., Химия, 1971. 264 с

10. Смородов Е.А., Галиахметов Р.Н., Ильгамов М.А. Физика и химия кавитации. М., Наука, 2008, 226с.

Связь с авторами: ev@ciam.ru